



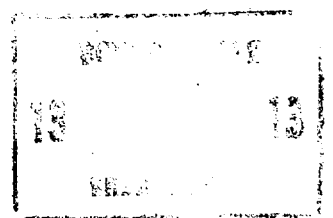
СОЮЗ СОВЕТСКИХ  
СОЦИАЛИСТИЧЕСКИХ  
РЕСПУБЛИК

(19) SU (11) 1257539 A1

(50) 4 G 01 R 19/22

ГОСУДАРСТВЕННЫЙ КОМИТЕТ СССР  
ПО ДЕЛАМ ИЗОБРЕТЕНИЙ И ОТКРЫТИЙ

## ОПИСАНИЕ ИЗОБРЕТЕНИЯ К АВТОРСКОМУ СВИДЕТЕЛЬСТВУ



(21) 3828088/24-21

(22) 21.12.84

(46) 15.09.86. Бюл. № 34

(71) Минский радиотехнический  
институт

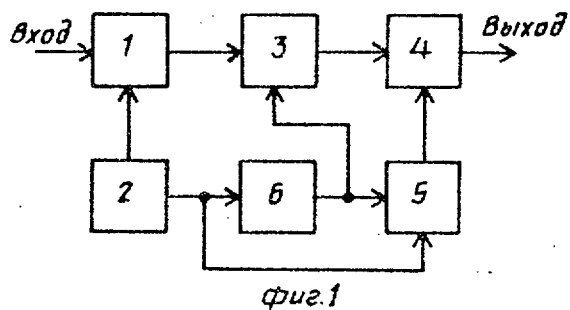
(72) В.В.Кандыбин, М.П.Федоринчик,  
Г.В.Барченко и Ф.Н.Никонович

(53) 621.317.7(088.8)

(56) Патент США № 3585487,  
кл. 324-120, 1971.

Авторское свидетельство СССР  
№ 949528, кл. G 01 R 19/22, 31.12.80.  
(54) ПРЕОБРАЗОВАТЕЛЬ ПЕРЕМЕННОГО НАП-  
РЯЖЕНИЯ В ПОСТОЯННОЕ ПО УРОВНЮ СРЕД-  
НЕВЫПРЯМЛЕННОГО ЗНАЧЕНИЯ  
(57) Изобретение относится к облас-  
ти электроизмерений и может быть

использовано в приборах для измере-  
ния средневыпрямленного значения пе-  
ременного тока. Цель изобретения -  
повышение точности работы устройства.  
Преобразователь содержит компаратор 1  
и ключи 3 и 5. Введение генератора 2  
треугольного напряжения, суммирующе-  
фильтрующего блока 4 и формирователя  
6 меандра позволяет за счет многократ-  
ного компарирования входного напряже-  
ния с треугольным за период входного  
напряжения уменьшить погрешность,  
вызванную дрейфом нуля компаратора 1  
и его задержкой переключения, что  
обеспечивает повышение точности пре-  
образования не менее чем в 20 раз.  
5 ил.



69 SU (11) 1257539 A1

Изобретение относится к области электроизмерений и может быть использовано в приборах для измерения средневыпрямленного значения переменного напряжения.

Цель изобретения - повышение точности путем уменьшения влияния времени задержки компаратора на выходное напряжение.

На фиг. 1 приведена функциональная схема преобразователя; на фиг. 2 и 3 - временные диаграммы напряжений, поясняющие его работу; на фиг. 4 - функциональная схема генератора треугольного напряжения; на фиг. 5 - временные диаграммы напряжений, поясняющие его работу.

Преобразователь переменного напряжения в постоянное содержит компаратор 1, первый вход которого соединен с входной шиной, а второй - с основным выходом генератора 2 треугольного напряжения, первый ключ 3, управляющий вход которого соединен с выходом компаратора 1, выход - с первым входом суммирующе-фильтрующего блока 4, выход которого соединен с выходной шиной. Синхронизирующий выход генератора 2 треугольного напряжения соединен с управляющим входом второго ключа 5, выход которого подключен к второму входу суммирующе-фильтрующего элемента 4, и с выходом формирователя 6 меандра, выход которого подключен к входам первого 3 и второго 5 ключей.

Генератор 2 треугольного напряжения содержит, например, генератор 7 тактовых импульсов, триггеры 8, 9 и 10, интегратор 11 и формирователь 12 (фиг. 4).

Преобразователь переменного напряжения в постоянное работает следующим образом.

Генератор 2 треугольного напряжения формирует треугольное двухполюрное напряжение на основном выходе и прямоугольные импульсы на синхронизирующем выходе.

Генератор 7 импульсов генератора 2 треугольного напряжения формирует последовательность тактовых импульсов (фиг. 5а) с частотой  $4/T_t$ , где  $T_t$  - период треугольного напряжения. На выходах триггера 8, работающего в режиме делителя частоты на два, образуется прямая и инвертированная последовательности прямоугольных

импульсов (фиг. 5б, в). После повторного деления в триггере 9 (фиг. 5г) напряжение поступает на вход формирователя 12, который формирует двухполярное напряжение типа меандра (фиг. 5г). На выходе интегратора 11 формируется треугольное напряжение (фиг. 5д), поступающее на основной выход генератора 2 треугольного напряжения. Инвертированный сигнал с второго выхода триггера 8 поступает на триггер 10, на выходе которого образуется прямоугольное напряжение, синфазное и синхронное с треугольным (фиг. 5е), поступающее на синхронизирующий выход генератора 2 треугольного напряжения. Треугольное напряжение  $U_t(t)$  (фиг. 2а) с основного выхода генератора 2 треугольного напряжения сравнивается компаратором 1 с входным напряжением  $U(t)$ . Выходной сигнал компаратора 1 управляет ключом 3 таким образом, что прямоугольное напряжение  $U_3(t)$  выхода формирователя 6 меандра поступает на первый вход суммирующе-фильтрующего блока 4 при условии  $U(t) > U_3(t)$  (заштрихованные импульсы на фиг. 2а). На второй вход суммирующе-фильтрующего блока 4 через ключ 5 проходят импульсы прямоугольного напряжения  $U_5(t)$  при условии  $U_5(t) > 0$  (фиг. 2б). Напряжения, поступающие на входы суммирующе-фильтрующего блока 4, усредняются, а затем суммируются, в результате чего на выходе преобразователя выделяется постоянное напряжение, пропорциональное средневыпрямленному значению входного сигнала, что можно показать математически.

Среднее напряжение, поступающее на первый вход суммирующе-фильтрующего блока 4 в режиме, когда период треугольного напряжения  $T_t$  значительно меньше периода  $T$  входного сигнала синусоидальной формы  $U(t) = U_m \sin \omega t$ , для положительной полуволны (фиг. 2а) равно

$$50 \quad U_{cp+} = \frac{1}{T} \sum_{i=0}^{N-1} \left[ U_i (\Delta t_i + \Delta t_i^+) - \right. \\ \left. - \frac{T_t U_i}{2} \right], \quad (1)$$

55 где  $N = \frac{T}{2T_t}$ ;

$U_i$  - амплитуда выходного напряжения формирователя 6 меандра.

Для определения  $\Delta t_i$  аппроксимируем кривую  $U(t)$  на каждом  $i$ -м периоде треугольного напряжения отрезками прямых, проходящих через точки  $A_i$  и  $B_i$  с координатами:

$$A_i \left[ iT_r + \hat{c}, U_m \sin\omega(iT_r + \hat{c}) \right];$$

$$B_i \left[ iT_r + \hat{c} + \frac{T_r}{4}, U_m \sin\omega(iT_r + \hat{c} + \frac{T_r}{4}) \right].$$

Для  $i$ -го периода можно записать

$$U(t) = \frac{4(t-iT_r - \hat{c})}{T_r} U_m \beta_+ + U_m \sin(8i\alpha + \Delta),$$

$$\text{где } \beta_+ = \sin\omega(iT_r + \frac{T_r}{4} + r -$$

$$- \sin\omega(iT_r + \hat{c}) = 2\cos(8i\alpha + \alpha + \Delta)x \sin\alpha;$$

$$\alpha = -\frac{\pi T_r}{4T},$$

$$\Delta = -\frac{2\pi}{T}.$$

Треугольное напряжение на  $i$ -м отрезке можно записать

$$U_r(t) = \frac{4(t-iT_r - \hat{c})}{T_r} U_{\max},$$

где  $U_{\max}$  — амплитуда треугольного напряжения.

Из условия  $U(t) = U_r(t)$  определяем

$$t_i = iT_r + \hat{c} + \frac{T_r}{4} \frac{U_m \sin(8i\alpha + \Delta)}{U_{\max} - U_m \beta_+}.$$

Тогда

$$\Delta t_i = \frac{T_r \gamma}{4} \frac{\sin(8i\alpha + \Delta)}{1 - \gamma \beta_+},$$

$$\text{где } \gamma = \frac{U_m}{U_{\max}}.$$

Если за начальную точку отсчета принять точку В и отсчет времени вести влево, то

$$t'_i = iT_r + \hat{c}' + \frac{T_r}{4} \frac{U_m \sin(8i\alpha + \Delta')}{U_{\max} - I_m \beta'_+},$$

$$\text{где } \hat{c}' = \frac{T_r}{2} - \hat{c};$$

$$\Delta' = 4\alpha - \Delta,$$

$$\beta'_+ = 2 \cos(8i\alpha + 5\alpha - \Delta).$$

При этом

$$\Delta t'_i = \frac{T_r \gamma}{4} \frac{\sin(8i\alpha + 4\alpha - \Delta)}{1 - \gamma \beta'_+}.$$

Среднее напряжение за период положительной полуволны синусоиды

$$5 \quad U_{cp+} = \frac{1}{T} \sum_{i=0}^{N-1} \left\{ \frac{U_1 T_r \gamma}{4} \left[ \frac{\sin(8i\alpha + \Delta)}{1 - \gamma \beta_+} + \frac{\sin(8i\alpha + 4\alpha - \Delta)}{1 - \gamma \beta_+} \right] - \frac{U_1 T_r}{2} \right\},$$

10 При  $\Delta = 0$

$$U_{cp+} = \frac{U_1}{4} + \frac{U_1 \gamma}{8N} \sum_{i=0}^{2N-1} \frac{\sin 4i\alpha}{1 - \gamma \beta}, \quad (2)$$

$$\text{где } \beta = 2\cos(4i\alpha + \alpha) \sin\alpha.$$

15 Воспользовавшись соотношением

$$\frac{1}{1-x} = 1 + x + x^2 + \dots + x^n \quad (3)$$

20 и ограничив ряд двумя членами, можно записать

$$U_{cp+} = -\frac{U_1}{4} + \frac{U_1 \gamma}{8N} \sum_{i=0}^{2N-1} \sin 4i\alpha \left[ 1 + 2\gamma \cos(4i\alpha + \alpha) \sin\alpha \right].$$

После преобразований получим

$$U_{cp+} = -\frac{U_1}{4} + \frac{U_1 \gamma}{8N} \left[ \sum_{i=0}^{2N-1} \sin 4i\alpha + \gamma + \sin\alpha \sum_{i=0}^{2N-1} \sin(8i\alpha + \alpha) - \gamma \sin^2 \alpha / 2N \right].$$

Учитывая, что

$$35 \quad \sum_{i=0}^{2N-1} \sin 4i\alpha = \frac{\cos 2\alpha}{\sin 2\alpha} \approx \frac{1 - 2\alpha^2}{2\alpha - \frac{4}{3}\alpha^3},$$

$$\sum_{i=0}^{2N-1} \sin(8i\alpha + \alpha) = 0,$$

После преобразования получим

$$U_{cp+} = -\frac{U_1}{4} + \frac{U_1 \gamma}{2\pi} \left( \frac{1 - \frac{32N^2}{\pi^2}}{1 - \frac{96N^2}{\pi^2}} \right) -$$

$$50 \quad - \frac{U_1 \gamma^2 \pi^2}{512N^3}.$$

Используя выражение (3) и ограничив ряд двумя первыми членами после преобразований, получим

$$55 \quad U_{cp+} = -\frac{U_1}{4} + \frac{U_1 \gamma}{2\pi} \left( 1 - \frac{\pi^2}{32N^2} + \frac{\pi^2}{96N^2} + \frac{\pi^4}{3072N^4} \right) - \frac{U_1 \gamma^2 \pi^2}{512N^3}.$$

Отбросив члены второго порядка малости получим

$$U_{cp+} \approx -\frac{U_1}{4} + \frac{U_1 \beta}{2\pi} - \frac{U_1 \gamma^2}{128N^2}.$$

Рассмотрим отрицательную полуволну синусоиды.

Если за начальную точку отсчета принять точку С и отсчет времени влево,  $t_1$  определяется аналогично, как и для потенциальной полуволны, только знак напряжений  $U(t)$  и  $U_r(t)$  заменяется на противоположный и  $\hat{\tau}' = -\hat{\tau}$ .

Тогда

$$t_j = jT_r - \hat{\tau} + \frac{T_r}{4} \frac{\gamma \sin(8i\alpha - \Delta)}{1 - \gamma \beta},$$

$$\text{где } \beta' = 2\cos(8i\alpha + \alpha - \Delta) \sin \alpha.$$

Для определения  $t_j$  за начало отсчета выбирается точка В, отсчет времени вправо и

$$\begin{aligned} \hat{\tau}' &= \frac{T_r}{2} + \hat{\tau}; t_j = jT_r + \frac{T_r}{2} + \hat{\tau} + \\ &+ \frac{T_r}{4} \frac{\gamma \sin(8i\alpha + 4\alpha + \Delta)}{1 - \gamma \beta'}, \end{aligned}$$

$$\text{где } \beta' = 2\cos(8j\alpha + 5\alpha + \Delta) \sin \alpha.$$

Среднее напряжение за период отрицательной полуволны синусоиды

$$\begin{aligned} U_{cp-} &= -\frac{1}{T} \sum_{j=0}^{N-1} \left( \frac{U_1 T_r}{2} - \Delta t_j U_r - \right. \\ &\quad \left. - \Delta t'_j U_r \right). \end{aligned} \quad (4)$$

Подставив значения  $\Delta t_j$  и  $\Delta t'_j$  при условии, что  $\hat{\tau} = 0$

$$U_{cp-} = \frac{U_1}{4} + \frac{U_1 \gamma}{8N} \sum_{j=0}^{2N-1} \frac{-\sin 4i\alpha}{1 - \gamma \beta'}.$$

Значение  $U_{cp-}$  определяется таким же выражением, как и для положительной полярности (2) синусоиды, тогда среднее напряжение, поступающее на первый вход суммирующе-фильтрующего блока 4, равно

$$U_{cp_1} = U_{cp+} + U_{cp-} = -\frac{U_1}{2} + \frac{U_1 \gamma}{\pi} - \frac{U_1 \gamma^2}{6N^2}.$$

Среднее на выходе второго ключа 3

$$U_{cp_2} = \frac{U_1}{2}.$$

Напряжение на выходе устройства

$$U_{\text{вых}} = U_{cp_1} + U_{cp_2} = \frac{U_1 U}{2U_{\text{макс}}} (1 + \delta),$$

$$\text{где } \delta = \frac{\gamma^2}{32N^2},$$

$$U = \frac{1}{T} \int_0^T |U(t)| dt,$$

5 средневыпрямленное значение синусоидального сигнала.

Таким образом, на выходе преобразователя получается напряжение, пропорциональное средневыпрямленному значению входного сигнала с определенной погрешностью. Погрешность  $\delta$  с ростом отношения  $\frac{T}{T_r}$  резко убывает, как при  $T = 10T_r$ ,  $\delta = 1,2\%$ .

Рассмотрим режим, когда  $T \ll T_r$  (фиг. 3). Усредняется часть прямоугольного напряжения  $U_r(t)$ , когда выполняется условие  $U(t) > U_r(t)$ . Рассмотрим период времени, когда треугольное напряжение возрастает и положительно

$$U_r(t) = \frac{4U_{\text{макс}}}{T} t.$$

25 Заменим возрастающее треугольное напряжение отрезками прямых, параллельных оси времени в моменты

$$t_i = \frac{4i+1}{4} T,$$

тогда

$$U_r(t) = \frac{4U_{\text{макс}} T}{T_r} \frac{4i+1}{4}.$$

Среднее напряжение на первом входе суммирующе-фильтрующего блока, когда  $U(t) > 0$  и возрастает, равно

$$U_{cp+}' = \frac{1}{T} \sum_{i=0}^{N-1} 2U_r \left( \frac{T}{4} - \Delta t_i \right),$$

где  $N \approx T_r U_m / TU_{\text{макс}}$  при  $T \ll T_r$ .

Исходя из равенства  $U(t) = U_r(t)$ , определяем  $\Delta t_i$ :

$$U_m \sin \frac{2\pi}{T} \Delta t_i = \frac{4U_{\text{макс}} T}{T_r} \frac{4i+1}{4}$$

или

$$\begin{aligned} \Delta t_i &= \frac{T}{2\pi} \arcsin \frac{4U_{\text{макс}} T \cdot 4i+1}{T_r U_m} = \\ &= \frac{T}{2\pi} \arcsin \frac{4i+1}{4N}. \end{aligned}$$

Тогда

$$U_{cp+}' = \frac{2U_r T}{T_r} \sum_{i=0}^{N-1} \left( \frac{1}{4} - \frac{1}{2\pi} \arcsin \frac{4i+1}{4N} \right) =$$

$$= \frac{U_r T}{2T_r} \sum_{i=0}^{N-1} \left( 1 - \frac{2}{\pi} \arcsin \frac{4i+1}{4N} \right).$$

Аналогично, когда  $U_r(t) > 0$ , но убывает

$$U_{cp+}'' = \frac{U_1 T}{2T_r} - \sum_{i=0}^{N-1} \left(1 - \frac{2}{\pi} \arcsin \frac{4i+3}{4N}\right)$$

Когда  $U_r(t) < 0$  и возрастает

$$U_{cp-}' = \frac{1}{T} \left[ \frac{U_1 T}{4} - \sum_{i=0}^{N-1} 2U_r \left( \frac{T_r}{4} - \Delta t_i \right) \right].$$

После преобразований получим

$$U_{cp}' = - \frac{U_1}{4} + \frac{U_1 T}{2T_r} \sum_{i=0}^{N-1} \left(1 - \frac{2}{\pi} \arcsin \frac{4i+1}{4N}\right),$$

где  $U_r(t) < 0$  и убывает

$$U_{cp}'' = - \frac{U_1}{4} + \frac{U_1 T}{2T_r} \times \\ \times \sum_{i=0}^{N-1} \left(1 - \frac{2}{\pi} \arcsin \frac{4i+3}{4N}\right).$$

Усредненное напряжение, которое поступает на первый вход суммирующе-фильтрующего блока

$$U_{cp} = U_{cp+} + U_{cp-} + U_{cp}' = \\ = - \frac{U_1}{2} + \frac{U_1 T}{T_r} \sum_{i=0}^{2N-1} \left(1 - \frac{2}{\pi} \arcsin \frac{2i+1}{4N}\right).$$

После преобразований получаем, учитывая, что

$$U_{cp} = - \frac{U_1}{2} + \frac{U_1 U_m}{2U_{max}} - \frac{2U_1 T}{T_r \pi} \times \\ \times \sum_{i=0}^{2N-1} \arcsin \frac{2i+1}{4N},$$

напряжение на выходе устройства

$$U_{вых} = \frac{U_1 U_m}{2U_{max}} - \frac{U_1 U_m}{2\pi N U_{max}} \times \\ \times \sum_{i=0}^{2N-1} \Delta x_i \arcsin x_i.$$

При  $N \rightarrow \infty$

$$U_{вых} = \frac{U_1 U_m}{2U_{max}} - \frac{U_1 U_m}{2\pi U_{max}} \lim_{\Delta x \rightarrow 0} x \\ \times \sum_{i=0}^{2N-1} \Delta x_i \arcsin x_i, \\ \text{где } x_i = \frac{2i+1}{N}; \\ \Delta x_i = \frac{1}{2N}.$$

Так как

$$\lim_{\Delta x \rightarrow 0} \sum_{i=0}^{2N-1} \Delta x_i \arcsin x_i = \\ = \int_0^{\pi/2} \arcsin x dx = \frac{\pi}{2} - 1,$$

то

$$U_{вых} = \frac{U_1 U_m}{\pi U_{max}} \left(\frac{\pi}{2} - 1\right) + \frac{U_m U_1}{2U_{max}} =$$

$$= \frac{U_m U_1}{2U_{max}} \cdot \frac{2U_m}{\pi}.$$

Таким образом в режиме, когда  $T_r \gg T$ , обеспечивается точное преобразование входного синусоидального сигнала в постоянное напряжение по уровню средневыпрямленного значения.

Исходя из выражений (1) и (4) напряжение на первом входе суммирующе-фильтрующего блока 4 с учетом времени задержки компаратора 1

$$U_{cp} = U_{cp+} + U_{cp-} = - \frac{U_1}{2} + \\ + \frac{U_1}{T} \left[ \sum_{i=0}^{N-1} (\Delta t_i + t_3 + \Delta t'_i - t'_3) + \right. \\ \left. + \sum_{j=0}^{K-1} (\Delta t_j + t_3 + \Delta t'_j + t'_3) \right],$$

где  $t_3$  – время задержки компаратора, когда происходит размыкание ключа,  $t'_3$  – время задержки компаратора, когда происходит замыкание ключа

$$N = \frac{T_r}{T}$$

$$K = \frac{T_r - T_1}{T_r}$$

где  $T_1$  – период времени, когда входной сигнал положителен;

30  $T$  – период входного переменного напряжения  $U(t)$ .

В общем случае  $N \neq K$

После преобразований получим напряжение на выходе устройства.

$$35 U_{вых} = \frac{U_1}{T} \sum_{i=0}^{N-1} (\Delta t_i + \Delta t'_i) + \\ + \frac{U_1}{T} \sum_{j=0}^{K-1} (\Delta t_j + \Delta t'_j) + \frac{U_1}{T} [N(t_3 - t'_3) - \\ 40 - K(t_3 - t'_3)].$$

Учитывая, что первое слагаемое представляет собой средневыпрямленное значение положительной полуволны переменного напряжения с коэффициентом  $U_1 / 2U_{max}$ ; а второе – отрицательной полуволны

$$50 U_{вых} = \frac{U_1 U_m}{2U_{max}} + \frac{U_1 (2T_r - T)(t_3 - t'_3)}{TT_r}.$$

Таким образом, при равенстве  $t_3 = t'_3$  погрешность от времени задержки компаратора равна нулю при любой форме сигнала. При неравенстве  $t_3$  и  $t'_3$  погрешность зависит от формы сигнала.

При  $T_1 = \frac{T}{2}$  погрешность также равна нулю.

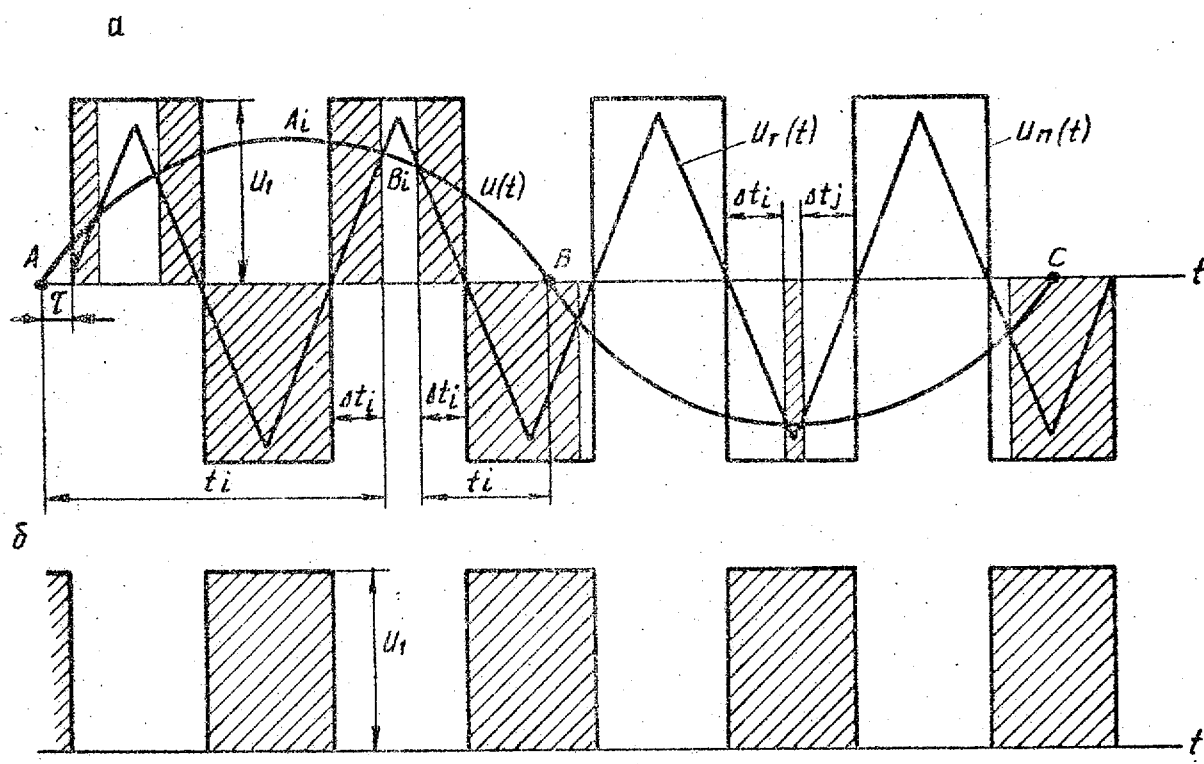
Сделанные выводы справедливы и для режима, когда  $T \ll T_y$ , что позволяет значительно расширить частотный диапазон входных сигналов преобразователя в области высоких частот.

Таким образом, отличия преобразователя позволяют за счет многократного компарирования входного напряжения с треугольным за период входного напряжения уменьшить погрешность, вызванную дрейфом нуля компаратора и его задержкой переключения, что обеспечивает повышение точности преобразования не менее чем в 20 раз.

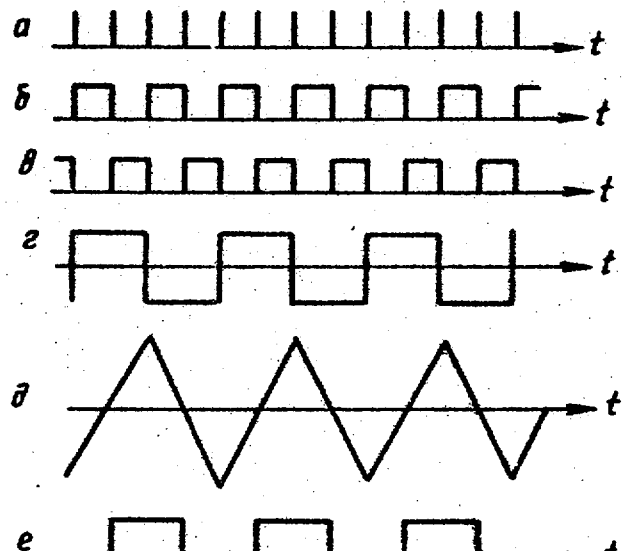
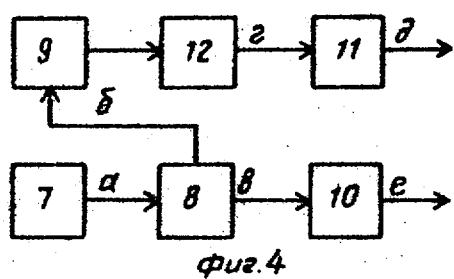
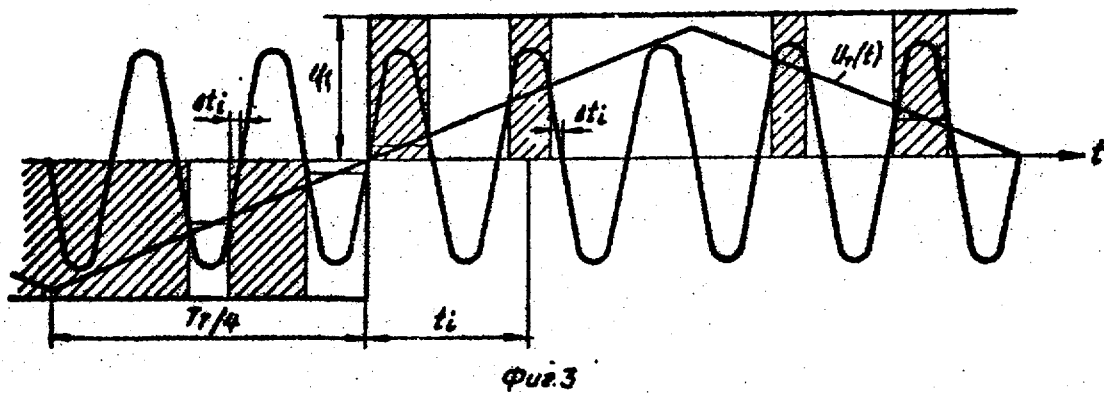
#### Формула изобретения

Преобразователь переменного напряжения в постоянное по уровню средневыпрямленного значения, содержащий компаратор, выход которого сое-

динен с управляющим входом первого ключа, а первый вход - с входной шиной, и второй ключ, от лица ающий ся тем, что, с целью повышения точности, в него дополнительно введены формирователь меандра, суммирующе-фильтрующий блок и генератор треугольного напряжения, при этом основной выход генератора треугольного напряжения соединен с вторым входом компаратора, синхронизирующий выход генератора треугольного напряжения соединен с входом формирователя меандра и управляющим входом второго ключа, информационные входы первого и второго ключей соединены с выходом формирователя меандра, а выходы ключей - с входами суммирующе-фильтрующего блока, выход которого подключен к выходной шине.



Фиг.2



Составитель А.Пучковский

Редактор М.Петрова

Техред Л.Олейник

Корректор И.Муска

Заказ 4912/42

Тираж 728  
Подписьное  
ВНИИПИ Государственного комитета СССР  
по делам изобретений и открытий  
113035, Москва, Ж-35, Раушская наб., д. 4/5

Производственно-полиграфическое предприятие, г.Ужгород, ул.Проектная, 4